

中华医学会系列杂志

ISSN 1007-5232

CN 32-1463 / R

中华消化内镜杂志[®]

ZHONGHUA XIAOHUA NEIJING ZAZHI

2023年9月 第40卷 第9期

CHINESE JOURNAL OF DIGESTIVE ENDOSCOPY

Volume 40 Number 9

September 2023



中华医学会

CHINESE
MEDICAL
ASSOCIATION

ISSN 1007-5232



9 771007 523236

·综述·

结直肠无蒂锯齿状病变癌变的内镜及通路改变

林堃 方军 王帆 丁洋 宁玉梅 刘岚 常莹 赵秋

武汉大学中南医院消化内科 湖北省肠病医学临床研究中心及肠病湖北省重点实验室,
武汉 430071

通信作者:赵秋,Email:qiu Zhao@whu.edu.cn

【摘要】 结直肠癌是中国发病率居高的消化系统恶性肿瘤,15%~30%的散发结直肠癌来源于锯齿状病变癌变途径。锯齿状病变内镜下表现、分子信号通路改变、病理改变、自然病程等与经典“腺瘤-癌”途径不同,特别是无蒂锯齿状病变,由于内镜下发现率低,病灶边缘不清导致不完全切除,是间期癌的重要来源。因此,认识无蒂锯齿状病变非常重要。本文就无蒂锯齿状病变分类、内镜下 pit pattern 分型、分子改变特征作一综述。

【关键词】 结直肠肿瘤; 癌前状态; 无蒂锯齿状病变; pit pattern; 信号通路

基金项目: 疑难病症诊治能力提升工程建设项目建设项目(ZLYNXM202017)

Endoscopic and pathways changes in carcinogenesis of colorectal sessile serrated lesions

Lin Kun, Fang Jun, Wang Fan, Ding Yang, Ning Yumei, Liu Lan, Chang Ying, Zhao Qiu

Department of Gastroenterology, Zhongnan Hospital of Wuhan University, Center and Key Lab for Clinical Research of Enteropathy of Hubei Province, Wuhan 430071, China

Corresponding author: Zhao Qiu, Email: qiu Zhao@whu.edu.cn

随着生活方式及饮食结构的改变,结直肠癌发病率呈上升趋势,现已成为我国发病率居首的消化系统恶性肿瘤^[1-4]。15%~30%的散发结直肠癌来源于锯齿状病变癌变途径(serrated pathway, SP),无蒂锯齿状病变(sessile serrated lesions, SSLs)是间期癌的重要来源,因此提高对SSLs的认识非常重要^[5]。结肠镜检查是整个筛查流程的中心环节,应用放大内镜、色素染色等技术,结合工藤进英教授提出的观察腺管开口形态及排列的 pit pattern 分型,可以有效提高锯齿状病变的检出率,并判断病变进展程度,有利于治疗方案确定^[6-9]。结直肠正常黏膜-癌前病变-癌的转变过程,伴随着一系列局部环境及分子信号改变,从而导致组织形态学的变化,随着技术发展,鉴定出 SP 的关键分子及信号通路改变,同时也明确肠道菌群及微环境改变在SSLs形成及SP中发挥重要作用^[10-16]。

一、锯齿状病变的分类

世界卫生组织 2019 年第 5 版指南推荐将锯齿状病变分为 3 类:增生性息肉(hyperplastic polyps, HPs)、SSLs、传统锯齿状腺瘤(traditional serrated adenomas, TSAs)^[17]。本版指

南推荐用 SSLs 替代之前的无蒂锯齿状腺瘤或息肉,同时强调单个结构异常的隐窝即可诊断为 SSLs,该诊断标准提高了病理专家之间诊断的一致性及诊断灵敏度^[18-19]。由于既往各版本的诊断标准、命名规范以及内镜医师检出率的变化,锯齿状病变的患病率难以确定。在筛查人群中,锯齿状病变占结肠镜检出所有息肉的 11%~53%,HPs 是最常见的,占所有锯齿状病变的 80%~90%,SSLs 占 15%~20%,TSAs 最不常见,占 1%~6%^[20]。HPs 的一个亚类——微泡型增生性息肉,被认为是 SSLs 的前体病变,SSLs 及 TSAs 有恶性潜能^[21]。

二、SSLs 的大体及 pit pattern 形态

在肠镜检查、病理评估中很容易忽视 SSLs,这是间期癌的主要来源,也是结直肠癌筛查失败的原因之一。内镜设备、附件及技术的发展提高了 SSLs 内镜的发现、诊断、治疗效果。临幊上多以普通白光观察为主,适当分多次变换窄带光成像(narrow band imaging, NBI)、蓝光成像(blue laser imaging, BLI)、联动成像(linked color imaging, LCI)观察,对锯齿状病变的检出更具优势,放大和窄带光成像

DOI: 10.3760/cma.j.cn321463-20230122-00091

收稿日期 2023-01-22 本文编辑 周昊

引用本文:林堃,方军,王帆,等.结直肠无蒂锯齿状病变癌变的内镜及通路改变[J].中华消化内镜杂志,2023,40(9): 759-764. DOI: 10.3760/cma.j.cn321463-20230122-00091.



(magnifying endoscopy with narrow-band imaging, ME-NBI) 观察后, 靛胭脂白光下或放大观察、结晶紫染色放大观察, 对锯齿状病变的边界、性质等可以作出较准确的判断。如怀疑有深浸润时需进一步进行超声内镜检查或影像学检查, 综合制定治疗方案^[22-23]。随着超广角内镜、内镜前端附件(如 ENDOCUFF VISION)、无创喷洒管、LCI、人工智能辅助识别技术等的应用, 虽然各自有其限制, 但总体上利于SSLs 的检出。

SSLs 多位于右半结肠, 直径多>5 mm, 表面常附黏液帽, 形态不规则, 边界不清。当病灶为浅表隆起或浅表凹陷时, 白光下准确识别病灶有一定难度, 应用 LCI 模式或靛胭脂染色可提高检出率^[24-25]。靛胭脂染色能强化病灶边界、表面凹凸结构, 突出病灶的立体感, 结合放大观察也能判断 pit pattern。应用 NBI、ME-NBI, 根据病灶的微血管形态、表面结构、背景黏膜颜色, 可以预测病灶类型及浸润深度, 病灶的日本窄带光成像技术专家小组(Japan NBI expert team, JNET) 分型为 2B 型或 3 型时, 进行结晶紫染色放大观察进一步进行 pit pattern 诊断^[26-28]。可以综合应用高清白光内镜、图像增强技术(NBI、LCI、BLI 等)、色素染色内镜等技术对 pit pattern 进行判断, 对判断病灶性质及浸润程度至关重要。

SSLs 内镜下 pit pattern 分型呈 II 型星芒状、II-O 型, JNET 分型多为 1~2A 型^[29]。当病变进展伴异型增生时, 进展为癌的时间明显缩短, 在 SSLs 伴异型增生到癌变过程中, 内镜下可发现带蒂、亚蒂, 双隆起, 中央凹陷, 表面发红等改变, pit pattern 多呈 III、IV 型, JNET 分型多为 2B 型; 当黏膜内出现癌腺管后, 内镜下进一步发现紧满感、表面粗糙、皱襞集中的改变, pit pattern 排列紊乱, 并且变得不规则(V_I型 pit, I; irregular), JNET 分型多为 3 型, 从病理组织像可见表层腺管的异常构造^[30]。随着癌组织向黏膜下深部浸润, 黏膜层的构造破坏明显, 同时伴有明显的间质反应, 可以看到无构造或是接近无构造的 pit pattern 图像(V_N型 pit, N: non-structure), 这种表现意味着癌向黏膜下层浸润生长, 通过 SP 产生的晚期癌约 2/3 的病灶会失去锯齿状组织学特征^[31]。

组织病理学是诊断早期结直肠癌及癌前病变的金标准, 图像增强技术以及激光共聚焦内镜, Endo-Cytoscopy 内镜系统, 不需要活检就能模拟获取组织病理图像, 甚至观察到细胞水平, 这对实时判断病理性质有价值^[32]。

三、SSLs 癌变主要分子信号通路改变

1. 结直肠癌分子亚型共识(the consensus molecular subtypes of colorectal cancer, CMS) 分类与 SP: 15%~30% 散发结直肠癌来源于 SP, 数量仅次于“腺瘤-癌”途径。SP 来源的结直肠癌组织形态上经历了正常黏膜-HPs-SSLs、TSAs-癌的转化, 基因的沉默可以通过基因序列改变(突变、染色质畸变等)和表观遗传修饰(DNA 甲基化、组蛋白翻译后修饰、miRNA 等)来实现。得益于高通量测序、转录组学、生物信息学的发展, 2015 年在整合优化了之前数种结直肠

癌分类的基础上, 提出了 CMS, 把结直肠癌分为 4 类, 与 SP 关联紧密的是 CMS1、CMS4 型^[33-40]。CMS1 型约占结直肠癌的 14%, 即微卫星不稳定强免疫反应型, 以 BRAF 突变、超突变、微卫星不稳定、强免疫激活浸润为特点, 预后相对较好。CMS4 型, 即间充质型, 约占结直肠癌的 23%, 以转化生长因子-β(TGF-β)活化、基质侵袭和血管生成为特点, 预后差^[41]。SSLs 癌变涉及的主要分子信号通路改变有 BRAF^{V600E} 突变、KRAS 突变、微卫星不稳定、CpG 岛甲基化表型(CpG island methylator phenotype, CIMP)。

2. DNA 甲基化与 CIMP: DNA 甲基化是调节基因表达的表观遗传修饰之一。在人类, DNA 甲基化修饰位于鸟嘌呤之前的胞嘧啶残基处, 称为 CpG 二核苷酸, 人类基因组中存在富含 CpG 序列的 CpG 岛, 通常在正常健康细胞中未甲基化, 40%~60% 的肿瘤抑制基因的启动子区域存在 CpG 岛, CG 含量>50%^[42-43]。结肠肿瘤呈整体 DNA 低甲基化, 局部高甲基化^[44-45]。DNA 高甲基化通过对启动子和非编码 DNA 元件(例如增强子)的影响使肿瘤抑制基因沉默。整体 DNA 低甲基化, 通过诱导染色体不稳定性、印记的整体丢失和超级增强子激活来影响结直肠癌的发展。CIMP 可分为低(CIMP-L)、高(CIMP-H)或阴性(CIMP-0), 具体取决于位于肿瘤抑制基因启动子区域附近的 CpG 岛中同时发生的甲基化程度^[46-47]。较为认可的定义 CIMP 表型的有两类基因组合。第一类由 Toyota 提出, 包含 P16、hMLH1、MINT1、MINT2 和 MINT31; 第二类由 Weisenberger 提出, 包含 CACNA1G、IGF2、NEUROG1、RUNX3 和 SOCS1^[48-49]。现在通过全基因组甲基化分析来评估 CIMP, 为结肠癌分类提供了新方向。

SSLs 来源的结直肠癌中, 多位于近端结肠、女性、具有黏液性组织学特征。从微泡型增生性息肉到 SSLs, 具有典型的 BRAF^{V600E} 突变, 激活了 MAPK 信号通路, 因 CIMP-H 而沉默多种抑癌基因, 当发生异型增生及癌变时, 激活 WNT/β-catenin 信号通路, 或 WNT 信号通路相关基因如 SFRP 家族(CDX2、MCC 蛋白)、也可激活 P53 信号通路(IGFBP7 蛋白)、细胞周期控制信号通路(CDKN2A 蛋白)等^[50-52]。当 DNA 错配修复家族蛋白(MLH1)发生超甲基化或突变后, 形成微卫星不稳定表型, 发展为癌的时间明显缩短。若 MLH1 没有发生超甲基化, 则可联合 WNT 通路、TGF-β、上皮-间质转化等通路, 形成微卫星稳定型结直肠癌, 这类结直肠癌更多以含 BRAF 突变的 TSAs 作为前体, 形成 CMS4 型结直肠癌(高水平细胞拷贝数变化、染色体不稳定、CIMP-L、微卫星稳定), 预后差^[53-54]。不同的是, 大部分 TSAs 来源的结直肠癌含有 KRAS 突变, 携带 RSPO 融合转录物, 且呈 CIMP-L 状态。

3. DNA 错配修复系统与微卫星不稳定: 微卫星不稳定是指由于 DNA 错配修复系统(mismatch repair, MMR)缺陷导致的超突变表型^[55]。林奇综合征的微卫星不稳定继发于 DNA 错配修复系统蛋白种系突变, 而 DNA 错配修复系统的表观遗传沉默更常见于散发性结直肠癌。微卫星不稳定与

肿瘤的异质性、肿瘤新抗原形成、免疫治疗、预后密切相关。聚合酶链反应(polymerase chain reaction, PCR)和免疫组织化学(immunohistochemistry, IHC)方法常用于临床微卫星不稳定测试^[56-57]。PCR 分析用于检测微卫星重复序列的不稳定性,而 IHC 用于检测一种或多种 DNA 错配修复系统蛋白(MLH1、MSH2、MSH6 和 PMS2)的表达缺失。根据 Bethesda 共识指南定义的标准微卫星标记组数量确定微卫星不稳定状态,分为高度微卫星不稳定、低度微卫星不稳定、微卫星稳定,但这种方法也有其局限性^[58-59]。

杯状细胞型增生性息肉向 TSAs 的发展过程与 KRAS 突变及 CIMP-L 相关,由其发展来的结直肠癌大多呈微卫星稳定表型^[60]。微泡型增生性息肉向 SSLs 的发展过程常见 BRAF^{V600E}突变及 CIMP-H 表型,当出现 SSLs 伴异型增生时,则多出现 MLH1 超甲基化和高度微卫星不稳定^[61-62]。CMS1 型结直肠癌由于 BRAF^{V600E}突变与 MLH1 基因启动子区域高甲基,导致 MLH1 和 PMS2 同时表达缺失,DNA 突变累积(尤其是移码突变),并表达多种突变形式的蛋白,这些蛋白功能缺失,但保留了免疫原性,是肿瘤源性的新抗原,诱发强免疫激活浸润,如 TIL、IFN-γ 相关基因的表达、WNT/β-catenin 信号通路紊乱等。结直肠癌能表达大量的新抗原,这是免疫治疗的靶点,如 PD-1。CMS1 型结直肠癌对氟嘧啶单药辅助化疗无效,甚至可能有害^[63]。微卫星不稳定是驱动产生肿瘤内异质性(intratumor heterogeneity,ITH)最重要因素之一,ITH 在空间上表现为肿瘤细胞之间不同的遗传改变和表型,在时间上表现为自然肿瘤进展和治疗干预期间亚克隆的变化^[64-66]。因此面对高度异质性的结直肠癌,进一步发展现有的免疫治疗方法如免疫检查点阻断,开发早筛及预后标志物如循环肿瘤 DNA、循环肿瘤细胞,做到结合患者实时状态,给予精准治疗和预后判断,是临床需要解决的问题^[67]。

4. 突变表型与相关通路:SSLs 癌变途径与 WNT、RAS-MAPK、PI3K、TGF-β、TP53 和 DNA 错配修复信号通路都有关联,BRAF^{V600E} 是主要驱动突变^[68]。

在微泡型增生性息肉向 SSLs 及结直肠癌的发展过程中,BRAF^{V600E}突变可能是起始驱动因素,导致组成型 MAPK 通路的信号传导,KRAS 也通过该通路发出信号,导致细胞增殖、存活和细胞凋亡的抑制^[69]。BRAF^{V600E}突变能诱导 IGFBP7 的合成和分泌,联合 P16^{INK4a}、P53 诱导衰老,抵抗致瘤突变^[70]。当 IGFBP7、P16^{INK4a} 被甲基化沉默后,打破平衡,无序扩增,在 CIMP-H 及高度微卫星不稳定的状态下,主要累及 WNT、RAS-MAPK 信号通路向 CMS1 型结直肠癌发展。在 CIMP-L 及低度微卫星不稳定或微卫星稳定的状态下,主要累及 P53、PI3K、TGF-β 信号通路,向 CMS4 型结直肠癌发展。近期通过结肠类器官及基因编辑技术明确,BRAF^{V600E}突变联合超甲基化表型,可以激活 WNT 通路,明显缩短锯齿状病变形成时间^[71]。与传统“腺瘤-癌”途径通过 APC 截断突变激活 WNT 通路不同,SP 主要通过 APC 错义突变、RNF43 突变、SFRP4、MCC、AXIN2 的甲基化,激活 WNT

通路^[72-75]。

在 SP 中 BRAF 与 KRAS 突变一般互斥,BRAF 突变比 KRAS 突变诱导更高水平的基因甲基化,更易形成 CIMP-H、高度微卫星不稳定表型^[76]。在 BRAF 突变条件下,通过 MAFG 招募阻遏复合物介导 CIMP 基因启动子及 MLH1 沉默,在 KRAS 突变条件下,通过 ZNF304 招募阻遏复合物介导,这说明 SP 路径中 BRAF 与 KRAS 选择性地招募不同阻遏物复合物结合到 CIMP 基因启动子,起到沉默基因的作用^[77]。

突变特征、场癌化、表观遗传漂移等概念的提出,再次提示癌症是一个动态过程,在形态正常的组织中也有基因(如碱基替代、插入、缺失、重排、拷贝数异常等)及表观遗传(如 DNA 甲基化、非编码 RNA 异常)改变,这可能是原始病灶特征,并且随着年龄、微环境的改变,在遗传与表观遗传的改变累积到相当程度后,则发生形态学改变,逐步进展为癌^[78-79]。SSLs 来源的结直肠癌的具有独特的组织学表现,通过对大量单个隐窝的测序,发现在形态正常的肠上皮中也存在肿瘤性分子改变,在癌症进化过程中赋予选择性优势的突变为驱动突变,推測结直肠癌发展的最早阶段是许多带有驱动突变的隐窝,而病变的发展伴随着突变负荷增加^[80-82]。这些突变特征、突变负荷的鉴定揭示每位患者肿瘤生物学特征,为个性化精准医疗提供意见。

综上,结直肠的组织胚胎来源不同,肠道微生物与微环境因解剖位置而差异显著,这对 SP 来源的结直肠癌更精确的分类及病因发现增加困难。随着类器官培养、基因编辑、肠道菌群实时鉴定等技术的发展,提供了更确信的纵向研究证据,综合评估将对 SP 来源的结直肠癌的分型、研发早期识别标志物、临床治疗、预后监控等产生积极的指导作用。

利益冲突 所有作者声明不存在利益冲突

参 考 文 献

- [1] Sung H, Ferlay J, Siegel RL, et al. Global cancer statistics 2020: globocan estimates of incidence and mortality worldwide for 36 cancers in 185 countries[J]. CA Cancer J Clin, 2021, 71(3):209-249. DOI: 10.3322/caac.21660.
- [2] Chen W, Zheng R, Baade PD, et al. Cancer statistics in China, 2015[J]. CA Cancer J Clin, 2016, 66(2): 115-132. DOI: 10.3322/caac.21338.
- [3] Cao W, Chen HD, Yu YW, et al. Changing profiles of cancer burden worldwide and in China: a secondary analysis of the global cancer statistics 2020[J]. Chin Med J (Engl), 2021, 134(7):783-791. DOI: 10.1097/CM9.0000000000001474.
- [4] Keum N, Giovannucci E. Global burden of colorectal cancer: emerging trends, risk factors and prevention strategies[J]. Nat Rev Gastroenterol Hepatol, 2019, 16(12): 713-732. DOI: 10.1038/s41575-019-0189-8.
- [5] Bateman AC. The spectrum of serrated colorectal lesions-new entities and unanswered questions[J]. Histopathology, 2021, 78(6):780-790. DOI: 10.1111/his.14305.
- [6] 国家消化系统疾病临床医学研究中心(上海),国家消化道

- 早癌防治中心联盟, 中华医学会消化内镜学分会, 等. 中国早期结直肠癌筛查流程专家共识意见(2019, 上海)[J]. 中华消化内镜杂志, 2019, 36(10):709-719. DOI: 10.3760/cma.j.issn.1007-5232.2019.10.001.
- [7] Kudo S, Hirota S, Nakajima T, et al. Colorectal tumours and pit pattern[J]. *J Clin Pathol*, 1994, 47(10): 880-885. DOI: 10.1136/jcp.47.10.880.
- [8] Tamura S, Furuya Y, Tadokoro T, et al. Pit pattern and three-dimensional configuration of isolated crypts from the patients with colorectal neoplasm[J]. *J Gastroenterol*, 2002, 37(10):798-806. DOI: 10.1007/s005350200133.
- [9] Shaukat A, Mongin SJ, Geisser MS, et al. Long-term mortality after screening for colorectal cancer[J]. *N Engl J Med*, 2013, 369(12):1106-1114. DOI: 10.1056/NEJMoa1300720.
- [10] Requena DO, Garcia-Buitrago M. Molecular insights into colorectal carcinoma[J]. *Arch Med Res*, 2020, 51(8):839-844. DOI: 10.1016/j.arcmed.2020.09.014.
- [11] Müller MF, Ibrahim AE, Arends MJ. Molecular pathological classification of colorectal cancer[J]. *Virchows Arch*, 2016, 469(2):125-134. DOI: 10.1007/s00428-016-1956-3.
- [12] Minarikova P, Benesova L, Halkova T, et al. Longitudinal molecular characterization of endoscopic specimens from colorectal lesions[J]. *World J Gastroenterol*, 2016, 22(20): 4936-4945. DOI: 10.3748/wjg.v22.i20.4936.
- [13] Harada S, Morlote D. Molecular pathology of colorectal cancer [J]. *Adv Anat Pathol*, 2020, 27(1): 20-26. DOI: 10.1097/PAP.0000000000000247.
- [14] Lannagan T, Lee YK, Wang T, et al. Genetic editing of colonic organoids provides a molecularly distinct and orthotopic preclinical model of serrated carcinogenesis[J]. *Gut*, 2019, 68(4):684-692. DOI: 10.1136/gutjnl-2017-315920.
- [15] Luo Y, Wong CJ, Kaz AM, et al. Differences in DNA methylation signatures reveal multiple pathways of progression from adenoma to colorectal cancer[J]. *Gastroenterology*, 2014, 147(2):418-429.e8. DOI: 10.1053/j.gastro.2014.04.039.
- [16] Zhao Y, Wang C, Goel A. Role of gut microbiota in epigenetic regulation of colorectal Cancer[J]. *Biochim Biophys Acta Rev Cancer*, 2021, 1875(1): 188490. DOI: 10.1016/j.bbcan.2020.188490.
- [17] Nagtegaal ID, Odze RD, Klimstra D, et al. The 2019 WHO classification of tumours of the digestive system[J]. *Histopathology*, 2020, 76(2): 182-188. DOI: 10.1111/his.13975.
- [18] Bateman AC. Pathology of serrated colorectal lesions[J]. *J Clin Pathol*, 2014, 67(10): 865-874. DOI: 10.1136/jclinpath-2014-202175.
- [19] Pai RK, Bettington M, Srivastava A, et al. An update on the morphology and molecular pathology of serrated colorectal polyps and associated carcinomas[J]. *Mod Pathol*, 2019, 32(10):1390-1415. DOI: 10.1038/s41379-019-0280-2.
- [20] Dhillon AS, Ibraheim H, Green S, et al. Curriculum review: serrated lesions of the colorectum[J]. *Frontline Gastroenterol*, 2020, 11(3):243-248. DOI: 10.1136/flgastro-2018-101153.
- [21] O'Brien MJ, Zhao Q, Yang S. Colorectal serrated pathway cancers and precursors[J]. *Histopathology*, 2015, 66(1):49-65. DOI: 10.1111/his.12564.
- [22] Oliveira Dos Santos CE, Malaman D, Pereira-Lima JC, et al. Impact of linked-color imaging on colorectal adenoma detection[J]. *Gastrointest Endosc*, 2019, 90(5):826-834. DOI: 10.1016/j.gie.2019.06.045.
- [23] Suzuki T, Hara T, Kitagawa Y, et al. Linked-color imaging improves endoscopic visibility of colorectal nongranular flat lesions[J]. *Gastrointest Endosc*, 2017, 86(4): 692-697. DOI: 10.1016/j.gie.2017.01.044.
- [24] Tate DJ, Jayanna M, Awadie H, et al. A standardized imaging protocol for the endoscopic prediction of dysplasia within sessile serrated polyps (with video)[J]. *Gastrointest Endosc*, 2018, 87(1):222-231.e2. DOI: 10.1016/j.gie.2017.06.031.
- [25] Søreide K, Nedrebø BS, Reite A, et al. Endoscopy, morphology, morphometry and molecular markers: predicting cancer risk in colorectal adenoma[J]. *Expert Rev Mol Diagn*, 2009, 9(2):125-137. DOI: 10.1586/14737159.9.2.125.
- [26] Hayashi N, Tanaka S, Kanao H, et al. Relationship between narrow-band imaging magnifying observation and pit pattern diagnosis in colorectal tumors[J]. *Digestion*, 2013, 87(1): 53-58. DOI: 10.1159/000343940.
- [27] Huang SL, Tan WX, Peng Q, et al. Blue laser imaging combined with JNET (Japan NBI Expert Team) classification for pathological prediction of colorectal laterally spreading tumors[J]. *Surg Endosc*, 2021, 35(10): 5430-5440. DOI: 10.1007/s00464-020-08027-z.
- [28] Sano Y, Tanaka S, Kudo SE, et al. Narrow-band imaging (NBI) magnifying endoscopic classification of colorectal tumors proposed by the Japan NBI expert team[J]. *Dig Endosc*, 2016, 28(5):526-533. DOI: 10.1111/den.12644.
- [29] Kimura T, Yamamoto E, Yamano HO, et al. A novel pit pattern identifies the precursor of colorectal cancer derived from sessile serrated adenoma[J]. *Am J Gastroenterol*, 2012, 107(3):460-469. DOI: 10.1038/ajg.2011.457.
- [30] Murakami T, Sakamoto N, Nagahara A. Endoscopic diagnosis of sessile serrated adenoma/polyp with and without dysplasia/ carcinoma[J]. *World J Gastroenterol*, 2018, 24(29):3250-3259. DOI: 10.3748/wjg.v24.i29.3250.
- [31] Kudo S, Rubio CA, Teixeira CR, et al. Pit pattern in colorectal neoplasia: endoscopic magnifying view[J]. *Endoscopy*, 2001, 33(4):367-373. DOI: 10.1055/s-2004-826104.
- [32] 国家消化系统疾病临床医学研究中心(上海), 中华医学会消化内镜学分会, 中国抗癌协会肿瘤内镜专业委员会, 等. 中国结直肠癌癌前病变和癌前状态处理策略专家共识[J]. 中华消化内镜杂志, 2022, 39(1): 1-18. DOI: 10.3760/cma.cn321463-20211111-00661.
- [33] Budinska E, Popovici V, Tejpar S, et al. Gene expression patterns unveil a new level of molecular heterogeneity in colorectal cancer[J]. *J Pathol*, 2013, 231(1): 63-76. DOI: 10.1002/path.4212.
- [34] Comprehensive molecular characterization of human colon and rectal cancer[J]. *Nature*, 2012, 487(7407):330-337. DOI: 10.1038/nature11252.
- [35] Schlicker A, Beran G, Chresta CM, et al. Subtypes of primary colorectal tumors correlate with response to targeted treatment in colorectal cell lines[J]. *BMC Med Genomics*, 2012, 5: 66. DOI: 10.1186/1755-8794-5-66.
- [36] De Sousa E Melo F, Wang X, Jansen M, et al. Poor-prognosis colon cancer is defined by a molecularly distinct subtype and develops from serrated precursor lesions[J]. *Nat Med*, 2013, 19(5):614-618. DOI: 10.1038/nm.3174.
- [37] Sadanandam A, Lyssiotis CA, Homicsko K, et al. A colorectal cancer classification system that associates cellular phenotype and responses to therapy[J]. *Nat Med*, 2013, 19(5):619-625. DOI: 10.1038/nm.3175.
- [38] Marisa L, de Reyniès A, Duval A, et al. Gene expression classification of colon cancer into molecular subtypes:

- characterization, validation, and prognostic value[J]. PLoS Med, 2013, 10(5): e1001453. DOI: 10.1371/journal.pmed.1001453.
- [39] Roepman P, Schlicker A, Tabernero J, et al. Colorectal cancer intrinsic subtypes predict chemotherapy benefit, deficient mismatch repair and epithelial-to-mesenchymal transition[J]. Int J Cancer, 2014, 134(3):552-562. DOI: 10.1002/ijc.28387.
- [40] Guinney J, Dienstmann R, Wang X, et al. The consensus molecular subtypes of colorectal cancer[J]. Nat Med, 2015, 21(11):1350-1356. DOI: 10.1038/nm.3967.
- [41] Fessler E, Drost J, van Hooff SR, et al. TGF β signaling directs serrated adenomas to the mesenchymal colorectal cancer subtype[J]. EMBO Mol Med, 2016, 8(7): 745-760. DOI: 10.15252/emmm.201606184.
- [42] Rodríguez-Paredes M, Esteller M. Cancer epigenetics reaches mainstream oncology[J]. Nat Med, 2011, 17(3):330-339. DOI: 10.1038/nm.2305.
- [43] Herman JG, Baylin SB. Gene silencing in cancer in association with promoter hypermethylation[J]. N Engl J Med, 2003, 349(21):2042-2054. DOI: 10.1056/NEJMra023075.
- [44] Saghafinia S, Mina M, Riggi N, et al. Pan-cancer landscape of aberrant DNA methylation across human tumors[J]. Cell Rep, 2018, 25(4): 1066-1080. e8. DOI: 10.1016/j.celrep.2018.09.082.
- [45] Heyn H, Vidal E, Ferreira HJ, et al. Epigenomic analysis detects aberrant super-enhancer DNA methylation in human cancer[J]. Genome Biol, 2016, 17:11. DOI: 10.1186/s13059-016-0879-2.
- [46] Yagi K, Akagi K, Hayashi H, et al. Three DNA methylation epigenotypes in human colorectal cancer[J]. Clin Cancer Res, 2010, 16(1):21-33. DOI: 10.1158/1078-0432.CCR-09-2006.
- [47] Hawkins N, Norrie M, Cheong K, et al. CpG island methylation in sporadic colorectal cancers and its relationship to microsatellite instability[J]. Gastroenterology, 2002, 122(5): 1376-1387. DOI: 10.1053/gast.2002.32997.
- [48] Ogino S, Cantor M, Kawasaki T, et al. CpG island methylator phenotype (CIMP) of colorectal cancer is best characterised by quantitative DNA methylation analysis and prospective cohort studies[J]. Gut, 2006, 55(7): 1000-1006. DOI: 10.1136/gut.2005.082933.
- [49] Toyota M, Ahuja N, Ohe-Toyota M, et al. CpG island methylator phenotype in colorectal cancer[J]. Proc Natl Acad Sci U S A, 1999, 96(15): 8681-8686. DOI: 10.1073/pnas.96.15.8681.
- [50] Dhir M, Yachida S, Van Neste L, et al. Sessile serrated adenomas and classical adenomas: an epigenetic perspective on premalignant neoplastic lesions of the gastrointestinal tract [J]. Int J Cancer, 2011, 129(8): 1889-1898. DOI: 10.1002/ijc.25847.
- [51] Kohonen-Corish MR, Sigglekow ND, Susanto J, et al. Promoter methylation of the mutated in colorectal cancer gene is a frequent early event in colorectal cancer[J]. Oncogene, 2007, 26(30):4435-4441. DOI: 10.1038/sj.onc.1210210.
- [52] Kriegel L, Neumann J, Vieth M, et al. Up and downregulation of p16(INK4a) expression in BRAF-mutated polyps/adenomas indicates a senescence barrier in the serrated route to colon cancer[J]. Mod Pathol, 2011, 24(7):1015-1022. DOI: 10.1038/modpathol.2011.43.
- [53] Bettington M, Walker N, Clouston A, et al. The serrated pathway to colorectal carcinoma: current concepts and challenges[J]. Histopathology, 2013, 62(3): 367-386. DOI: 10.1111/his.12055.
- [54] Taieb J, Le Malicot K, Shi Q, et al. Prognostic value of braf and kras mutations in msi and mss stage III colon cancer[J]. J Natl Cancer Inst, 2017, 109(5): djw272. DOI: 10.1093/jnci/djw272.
- [55] Baretti M, Le DT. DNA mismatch repair in cancer[J]. Pharmacol Ther, 2018, 189: 45-62. DOI: 10.1016/j.pharmthera.2018.04.004.
- [56] Cairns SR, Scholefield JH, Steele RJ, et al. Guidelines for colorectal cancer screening and surveillance in moderate and high risk groups (update from 2002) [J]. Gut, 2010, 59(5): 666-689. DOI: 10.1136/gut.2009.179804.
- [57] Aaltonen LA, Salovaara R, Kristo P, et al. Incidence of hereditary nonpolyposis colorectal cancer and the feasibility of molecular screening for the disease[J]. N Engl J Med, 1998, 338(21):1481-1487. DOI: 10.1056/NEJM199805213382101.
- [58] Umar A, Boland CR, Terdiman JP, et al. Revised bethesda guidelines for hereditary nonpolyposis colorectal cancer (Lynch syndrome) and microsatellite instability[J]. J Natl Cancer Inst, 2004, 96(4):261-268. DOI: 10.1093/jnci/djh034.
- [59] Dietmaier W, Wallinger S, Bocker T, et al. Diagnostic microsatellite instability: definition and correlation with mismatch repair protein expression[J]. Cancer Res, 1997, 57(21):4749-4756.
- [60] Spring KJ, Zhao ZZ, Karamatic R, et al. High prevalence of sessile serrated adenomas with BRAF mutations: a prospective study of patients undergoing colonoscopy[J]. Gastroenterology, 2006, 131(5):1400-1407. DOI: 10.1053/j.gastro.2006.08.038.
- [61] O'Brien MJ, Yang S, Mack C, et al. Comparison of microsatellite instability, CpG island methylation phenotype, BRAF and KRAS status in serrated polyps and traditional adenomas indicates separate pathways to distinct colorectal carcinoma end points[J]. Am J Surg Pathol, 2006, 30(12): 1491-1501. DOI: 10.1097/01.pas.0000213313.36306.85.
- [62] Yang S, Farraye FA, Mack C, et al. BRAF and KRAS mutations in hyperplastic polyps and serrated adenomas of the colorectum: relationship to histology and CpG island methylation status[J]. Am J Surg Pathol, 2004, 28(11): 1452-1459. DOI: 10.1097/01.pas.0000141404.56839.6a.
- [63] Taieb J, Shi Q, Pederson L, et al. Prognosis of microsatellite instability and/or mismatch repair deficiency stage III colon cancer patients after disease recurrence following adjuvant treatment: results of an ACCENT pooled analysis of seven studies[J]. Ann Oncol, 2019, 30(9):1466-1471. DOI: 10.1093/annonc/mdz208.
- [64] Marusyk A, Almendro V, Polyak K. Intra-tumour heterogeneity: a looking glass for cancer? [J]. Nat Rev Cancer, 2012, 12(5):323-334. DOI: 10.1038/nrc3261.
- [65] Burrell RA, McClelland SE, Endesfelder D, et al. Replication stress links structural and numerical cancer chromosomal instability[J]. Nature, 2013, 494(7438): 492-496. DOI: 10.1038/nature11935.
- [66] Punt CJ, Koopman M, Vermeulen L. From tumour heterogeneity to advances in precision treatment of colorectal cancer[J]. Nat Rev Clin Oncol, 2017, 14(4): 235-246. DOI: 10.1038/nrclinonc.2016.171.
- [67] Wu W, Liu Y, Zeng S, et al. Intratumor heterogeneity: the hidden barrier to immunotherapy against MSI tumors from the perspective of IFN- γ signaling and tumor-infiltrating lymphocytes[J]. J Hematol Oncol, 2021, 14(1): 160. DOI: 10.1186/s13045-021-01166-3.

- [68] Fearon ER. Molecular genetics of colorectal cancer[J]. Annu Rev Pathol, 2011, 6: 479-507. DOI: 10.1146/annurev-pathol-011110-130235.
- [69] Rustgi AK. BRAF: a driver of the serrated pathway in colon cancer[J]. Cancer Cell, 2013, 24(1): 1-2. DOI: 10.1016/j.ccr.2013.06.008.
- [70] Wajapeyee N, Serra RW, Zhu X, et al. Oncogenic BRAF induces senescence and apoptosis through pathways mediated by the secreted protein IGFBP7[J]. Cell, 2008, 132(3): 363-374. DOI: 10.1016/j.cell.2007.12.032.
- [71] Tao Y, Kang B, Petkovich DA, et al. Aging-like spontaneous epigenetic silencing facilitates wnt activation, stemness, and Braf(V600E) -induced tumorigenesis[J]. Cancer Cell, 2019, 35(2):315-328.e6. DOI: 10.1016/j.ccr.2019.01.005.
- [72] Nguyen LH, Goel A, Chung DC. Pathways of colorectal carcinogenesis[J]. Gastroenterology, 2020, 158(2): 291-302. DOI: 10.1053/j.gastro.2019.08.059.
- [74] Leggett B, Whitehall V. Role of the serrated pathway in colorectal cancer pathogenesis[J]. Gastroenterology, 2010, 138(6):2088-2100. DOI: 10.1053/j.gastro.2009.12.066.
- [73] Murakami T, Mitomi H, Saito T, et al. Distinct WNT/β-catenin signaling activation in the serrated neoplasia pathway and the adenoma-carcinoma sequence of the colorectum[J]. Mod Pathol, 2015, 28(1): 146-158. DOI: 10.1038/modpathol.2014.41.
- [75] Yan H, Lai J, Ho SL, et al. RNF43 germline and somatic mutation in serrated neoplasia pathway and its association with BRAF mutation[J]. Gut, 2017, 66(9): 1645-1656. DOI: 10.1136/gutjnl-2016-311849.
- [76] Kang X, Zhang R, Kwong TN, et al. Serrated neoplasia in the colorectum: gut microbiota and molecular pathways[J]. Gut Microbes, 2021, 13(1): 1-12. DOI: 10.1080/19490976.2020.1863135.
- [77] Fang M, Ou J, Hutchinson L, et al. The BRAF oncprotein functions through the transcriptional repressor MAFG to mediate the CpG island methylator phenotype[J]. Mol Cell, 2014, 55(6):904-915. DOI: 10.1016/j.molcel.2014.08.010.
- [78] Koh G, Degasperi A, Zou X, et al. Mutational signatures: emerging concepts, caveats and clinical applications[J]. Nat Rev Cancer, 2021, 21(10): 619-637. DOI: 10.1038/s41568-021-00377-7.
- [79] Grady WM, Yu M, Markowitz SD. Epigenetic alterations in the gastrointestinal tract: current and emerging use for biomarkers of cancer[J]. Gastroenterology, 2021, 160(3): 690-709. DOI: 10.1053/j.gastro.2020.09.058.
- [80] Lee-Six H, Olafsson S, Ellis P, et al. The landscape of somatic mutation in normal colorectal epithelial cells[J]. Nature, 2019, 574(7779):532-537. DOI: 10.1038/s41586-019-1672-7.
- [81] Nik-Zainal S, Hall BA. Cellular survival over genomic perfection[J]. Science, 2019, 366(6467): 802-803. DOI: 10.1126/science.aax8046.
- [82] Zou X, Koh G, Nanda AS, et al. A systematic CRISPR screen defines mutational mechanisms underpinning signatures caused by replication errors and endogenous DNA damage[J]. Nat Cancer, 2021, 2(6): 643-657. DOI: 10.1038/s43018-021-00200-0.

• 读者 • 作者 • 编者 •

《中华消化内镜杂志》2023年征订启事

《中华消化内镜杂志》为月刊,全年12期,订价25元/册,全年300元。

· 微信订阅:

关注微信公众号“消化内镜资讯”(微信号“xhnjxw”),点击菜单栏“订阅投稿”中的“杂志订阅”

或直接扫描右侧二维码,加任何一位编辑的企业微信号联系订阅

· 网站订阅:登录中华消化内镜杂志网站(<http://www.zhxhnjzz.com>),首页“期刊订阅”

· 邮局订阅:邮发代号 28-105

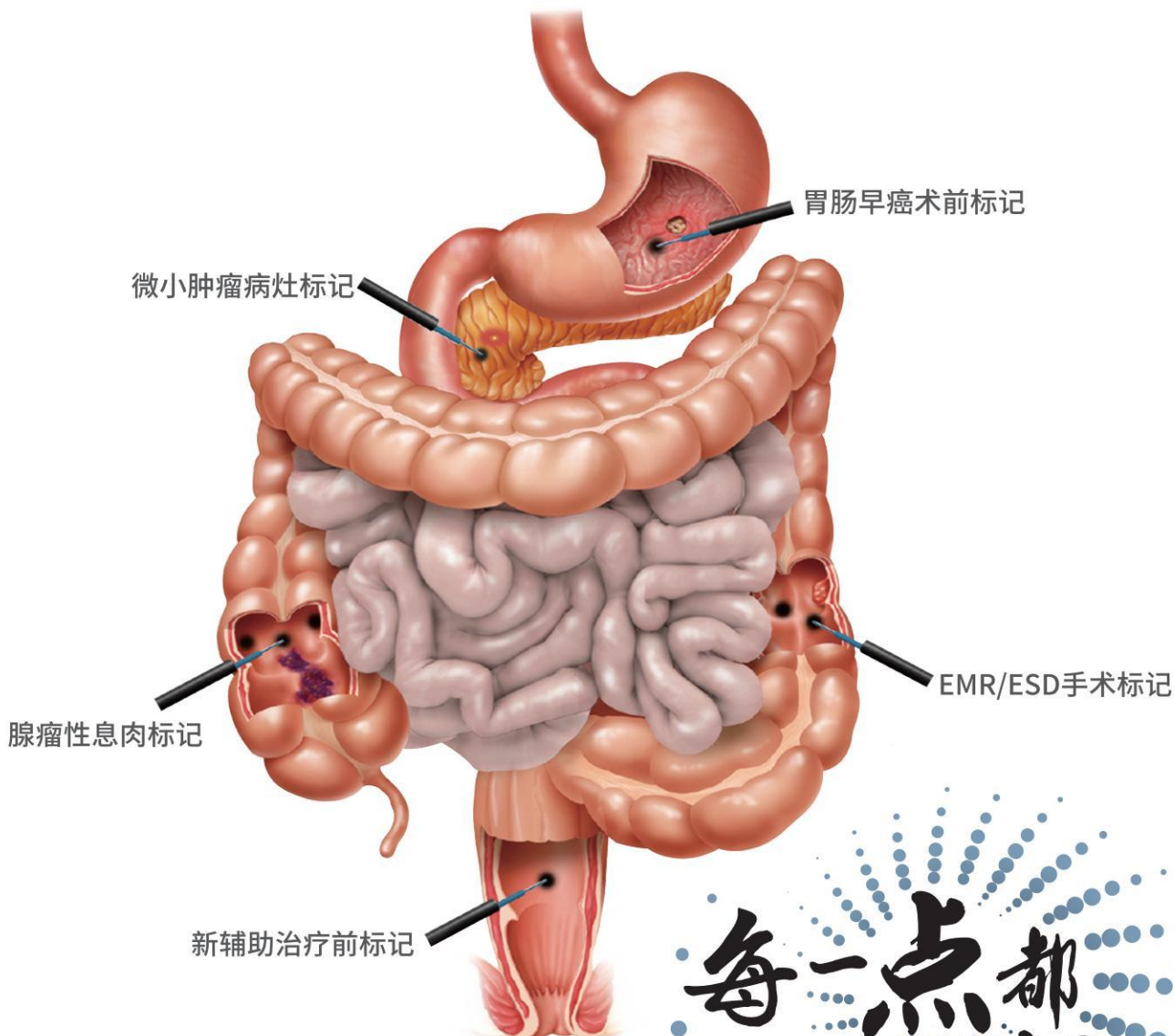


Spot 内镜定位标记液

ENDOSCOPIC MARKER



适用于内镜下对胃肠道病灶进行标记或染色



每一点都
恰到好处



快速确定病灶位置,避免误切



减少病灶探查时间,节省手术时间



辅助判断肿瘤边界,更小的有效切除范围

广告

冀药广审(文)第250420-00441号

立美舒®

硫酸镁 散剂

MAGNESIUM
SULFATE

国药准字H13022977

【适应症】

- 1.用于急性便秘，食物中毒或药物中毒时清洗肠道。
- 2.肠内异常发酵引起的下腹膨胀，还可与驱虫药合用。

【药理毒理】本品为缓泻类药品

本品给药途径不同呈现不同药理作用。

- 1、本品为溶积性泻药。口服不易被肠道吸收，停留在肠腔内，使肠内容积的渗透压升高，阻止肠内水份的吸收，同时将组织中的水份吸收到肠腔中来，使肠内容积增大，对肠壁产生刺激，反射性的增加肠蠕动而导泄。
- 2、利胆作用，口服高浓度(33%)硫酸镁溶液，或用导管直接灌入十二指肠，可刺激十二指肠粘膜，反射性的引起总胆管括约肌松弛，胆囊收缩，促进胆囊排空，产生利胆作用。
- 3、消炎去肿，本品50%溶液外用热敷患处，有消炎去肿的功效

【不良反应】导泄时如服用浓度过大的溶液，可自组织中吸取大量水份而导致脱水，因此宜清晨空腹服用，并大量饮水，以加速导泄作用并缓解脱水。

【禁忌】尚不明确。



立美无限 舒通未来



武罗药业

WOOLOVE PHARMACEUTICAL

河北武罗药业有限公司

请仔细阅读说明书并在医师指导下使用

本广告仅供医学药学专业人士阅读